

# Određivanje parametara tla (linearno-elastični-idealno-plastični model ili “Mohr-Coulombov” model)

Antun Szavits Nossan

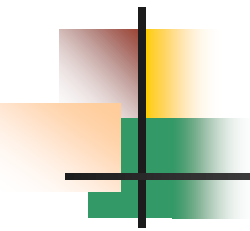
Gradjevinski fakultet Sveučilišta u Zagrebu

2009

# Linearno elastični idealno plastični model

## Parametri

- Parametri elastičnih deformacija
  - Youngov modul .....  $E'$  (drenirano),  $E$  (nedrenirano)
  - Poissonov broj .....  $\nu'$  ..... 0,5
- Parametri plastičnosti
  - Ploha popuštanja
    - Kut trenja .....  $\varphi'$  .....  $\varphi_u = 0$
    - Kohezija .....  $c'$  .....  $c_u$  (nedrenirana  
čvrstoća)
  - Dilatacija .....  $\psi$  ili  $D$  ..... 0

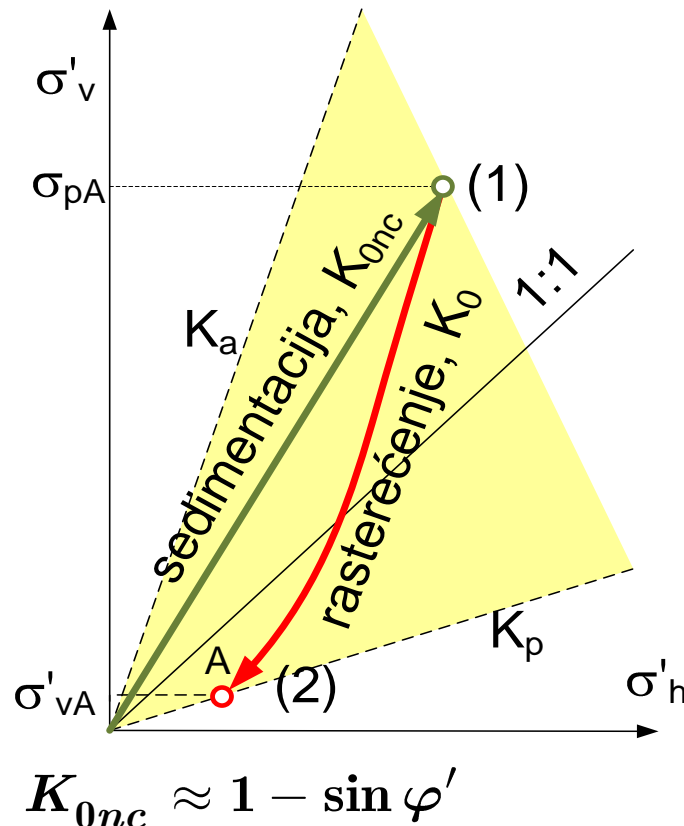


## Početno stanje naprezanja

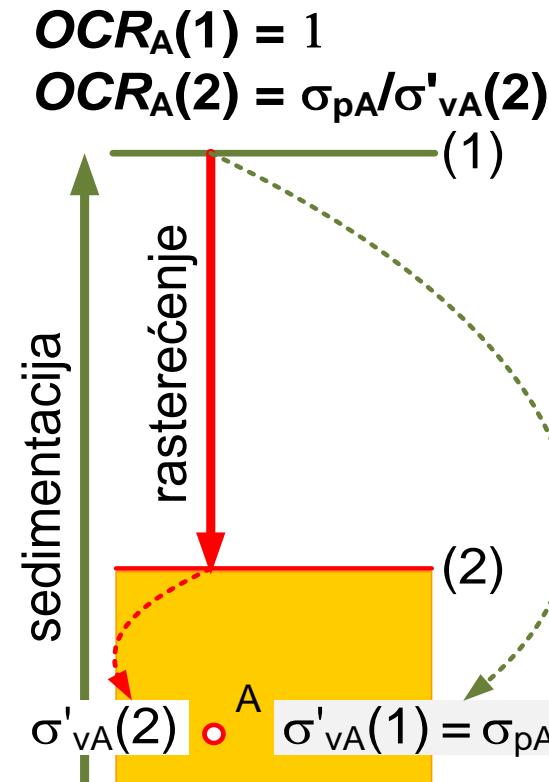
- $\sigma_v = \int_0^z \gamma dz, \quad \sigma'_v = \sigma_v - u$
- $\sigma'_h = K_0 \sigma'_v, \quad \sigma_h = \sigma'_h + u$
- Normalno konsolidirano tlo  $K_{0nc} = 1 - \sin \varphi'$
- Prekonsolidirano tlo  $K_0 = K_{0nc} \cdot OCR^{\frac{\sin \varphi'_{tc}}{}}$
- Kvocijent prekonsolidacije  $OCR = \sigma_p / \sigma'_v$

# Nastanak prekonsolidacije: sedimentacija i rasterećenje u geološkoj prošlosti

## ■ Sitnozrno i krupnozrno tlo



$$K_0 \approx K_{0nc} \cdot OCR^{\frac{\sin \varphi'}{2}} \approx K_{0nc} \cdot OCR^{0.5} \leq K_p$$

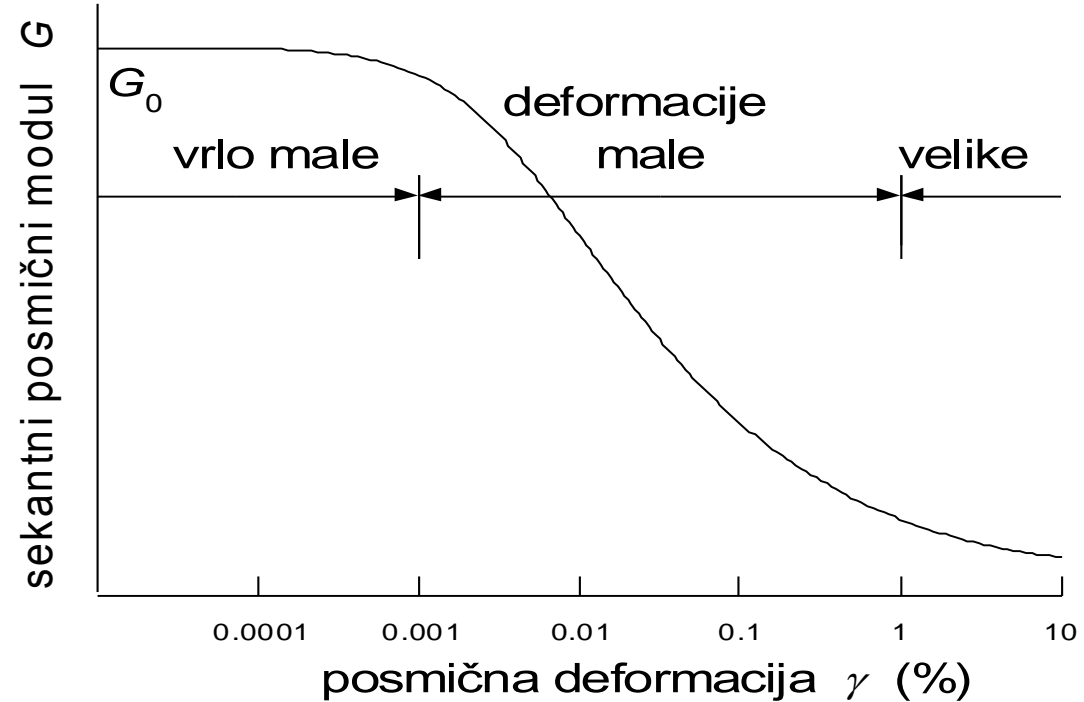
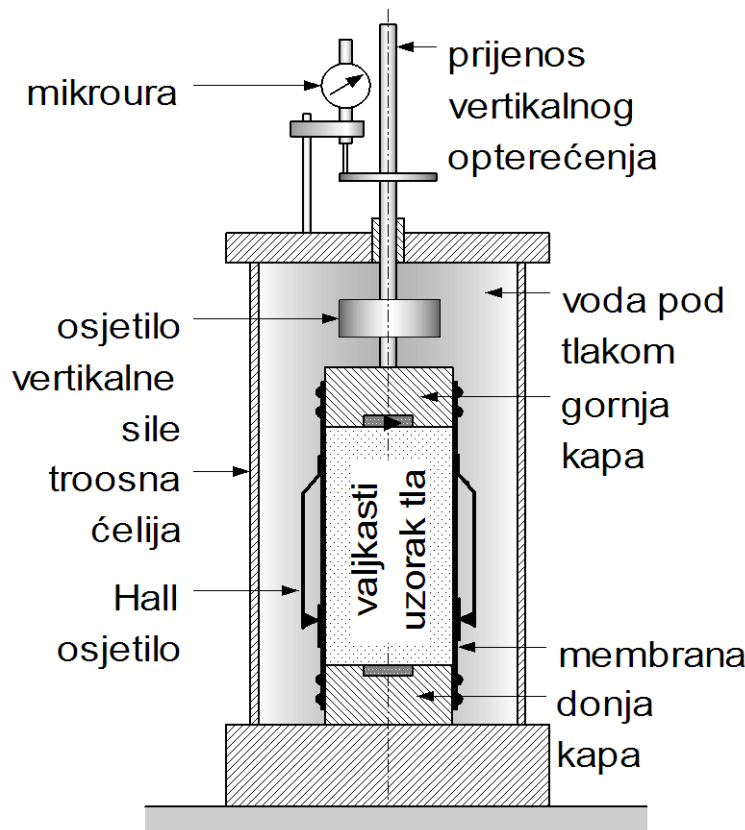


# Laboratorijski i terenski uređaji za ispitivanje krutosti i čvrstoće tla

- Laboratorijski
  - klasifikacijski pokusi: Atterbergove granice ( $w_L$ ,  $w_P$ ), prirodna vlažnost ( $w_0$ ), granulacija, relativna zbijenost ( $I_D$ ), jednoososna čvrstoća ( $q_a$ ), ...
  - neposredna ispitivanja uzorka tla: edometar, troosni uređaj, direktno smicanje, ...
- Terenski
  - posredno ispitivanje (uz korištenje korelacija): standardni penetracijski pokus (broj udaraca  $N$ ), statički penetracijski pokus (otpor šiljka  $q_c$ ), ...
  - neposredno ispitivanje: krilna sonda (nedrenirana čvrstoća), presiometar (otpor širenju cilindričnog otvora bušotine), probna ploča (slijeganje opterećene kružne ploče na površini tla ili u bušotini), geofizička ispitivanja (brzina širenja elastičnih valova; elastični valovi – širenje poremećaja u tlu pri vrlo malim deformacijama; brzina uzdužnih valova  $v_p = \sqrt{E_{\text{oed}} / \rho}$  , brzina posmičnih valova  $v_s = \sqrt{G_0 / \rho}$ )

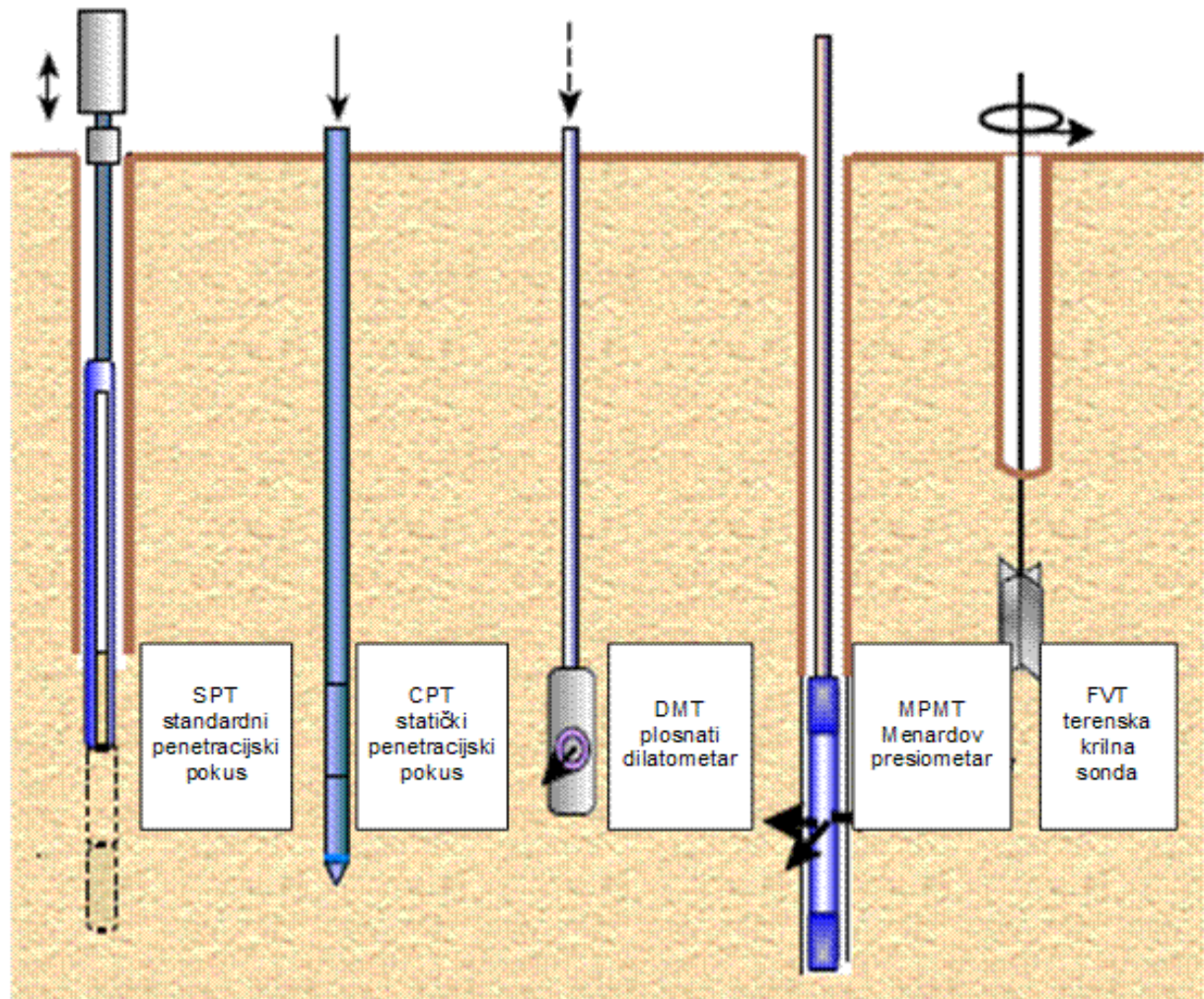
# Krutost od malih deformacija do sloma

## ■ Troosni uređaj i sekantna krutost tla



# Terenski pokusi

- SPT
- CPT
- DMT
- MPMT
- FVT
- Geofizički
  - površinska refrakcija
  - SASW
  - cross-hole
  - down hole



## Standardni penetracijski pokus (SPT) 1

- Uteg  $W = 0,623 \text{ kN}$ ; visina pada  $H = 0,76 \text{ m}$ ; broji se broj udaraca koji sondu-uzorkivač zabiju oko 30 cm u dno bušotine

Teoretska energija udara je  $En_t = WH$ , stvarna energija udara,  $En$ , je manja od teoretske zbog različitih gubitaka; kvocijent energije definiran je kao  $ER = En/En_t$ , a standardnim se smatra  $ER = 0.6$ ; kod uređaja u Hrvatskoj su mjereni  $ER$  u rasponu od 0.6 do 0.7)

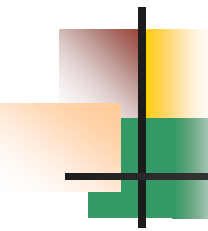
- Korekcije mjerenog broja udaraca,  $N$ , na standardni,  $N_{60}$ :

$$N_{60} = C_B C_S C_R \frac{ER}{0.6} N$$

## Standardni penetracijski pokus (SPT) 2

- Korekcije na standardni promjer bušotine,  $C_B$   
 $C_B = 1$  za promjer bušotine od 65 do 115 mm;
- Korekcija detalja uzorkivača,  $C_S$   
 $C_S = 1$  za uzorkivač s košuljicom, a  $C_S = 1.2$  kad košuljice nema;
- Korekcija dužine šipki u bušotini,  $C_R$   
 $C_R = 1$  za dužinu šipki veću od 10 m, a  $C_R = 0.95$  za kraće šipke
- Korekcija na veličinu vertikalnog efektivnog naprezanja u tlu na mjestu sonde:

$$(N_1)_{60} = C_N N_{60} \quad C_N = 1 / \sqrt{\sigma'_v / p_a} \quad p_a = 100 \text{ kPa}$$



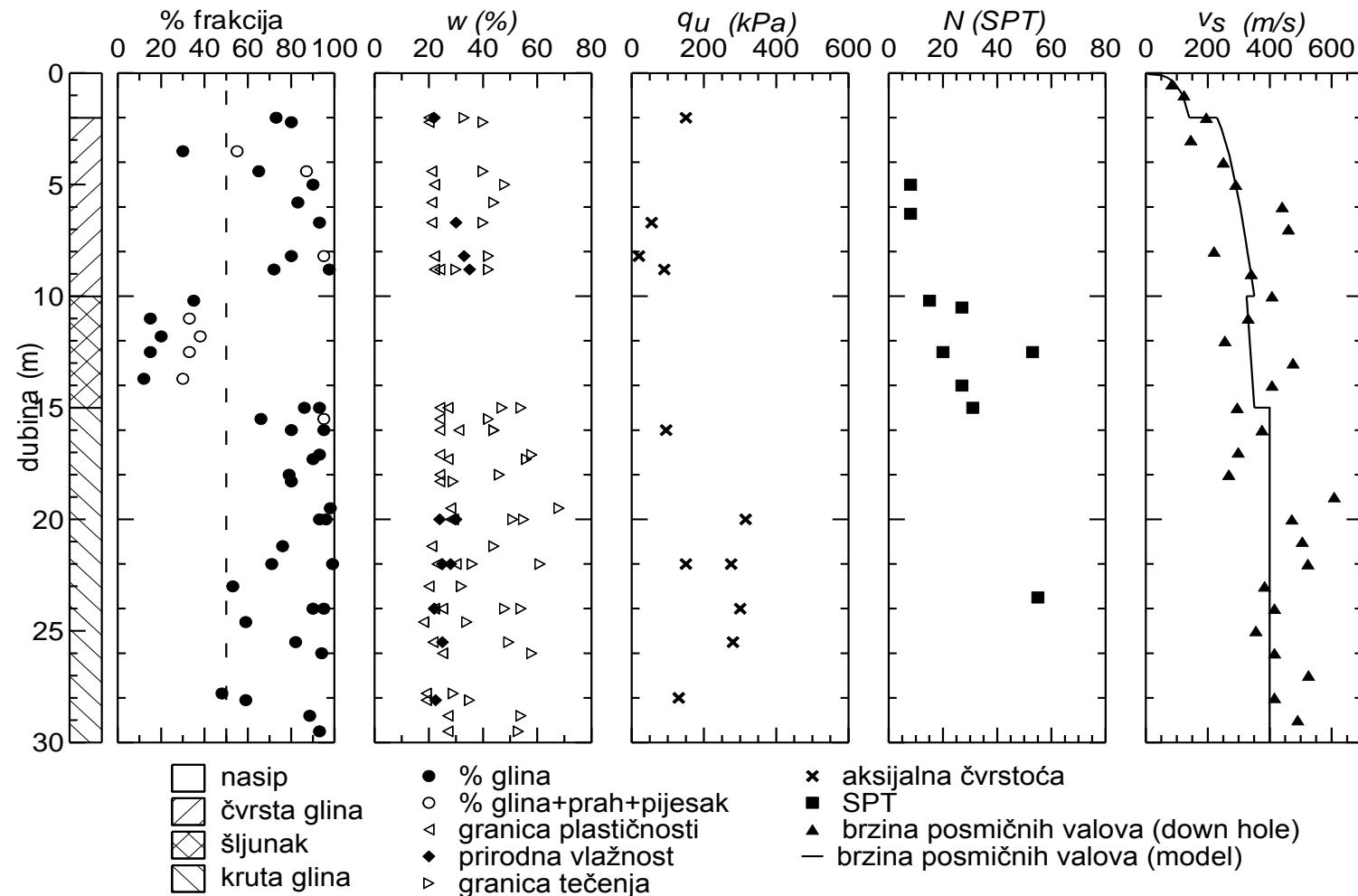
## Statički penetracijski pokus (CPT)

- Korekcija kao kod SPT

$$q_n = q_c C_N, \quad C_N \text{ korekcija za SPT}$$

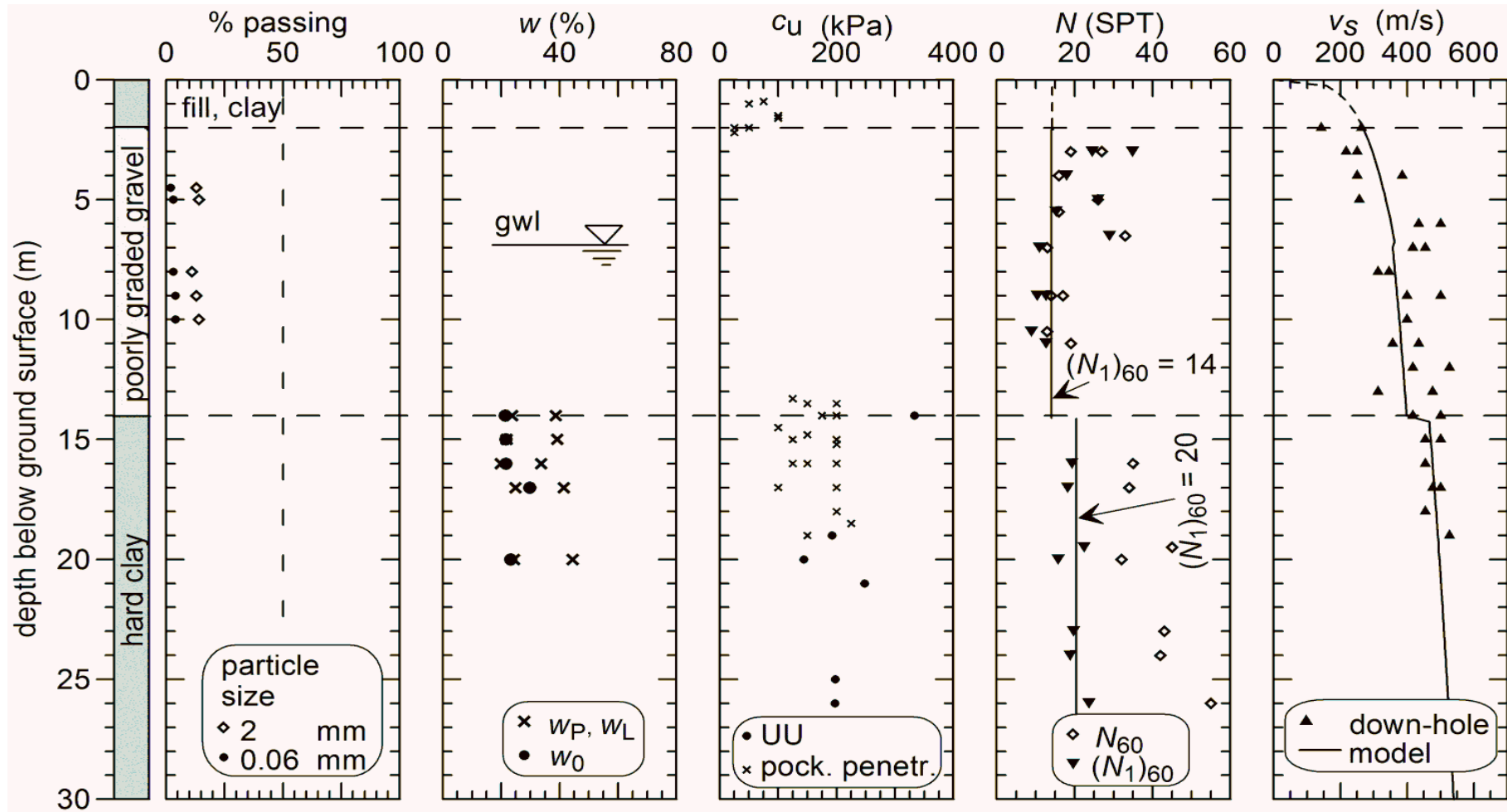
# Prikaz rezultata 1

## ■ Geotehnički profili, sondažni profili



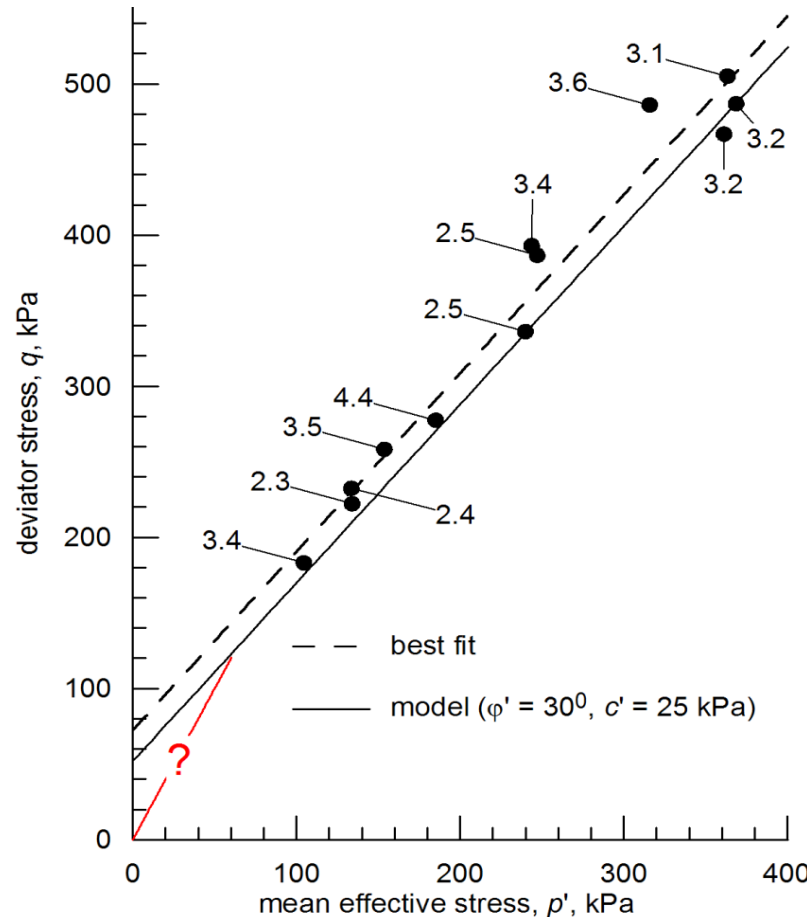
# Prikaz rezultata 2

## Sondažni profili i zbirni prikazi 2



# Prikaz rezultata 3

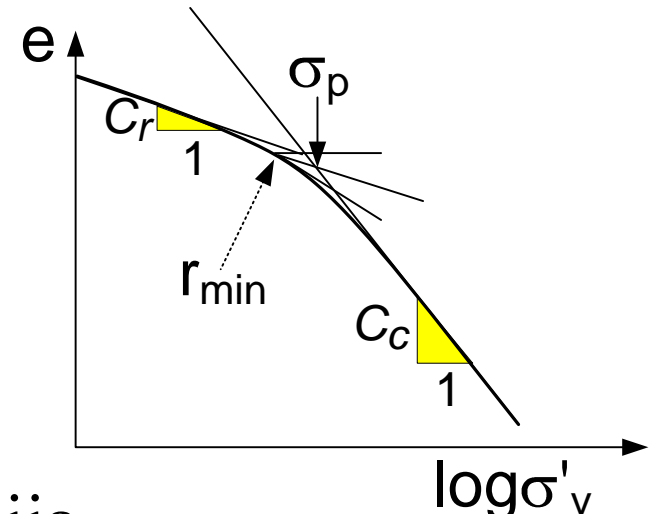
## ■ Specijalizirani prikazi za izbor parametara tla



# Određivanje OCR 1

## ■ Sitnozrno tlo

- Iz edometarskog pokusa (Casagrande) za sitozrna tla



- Iz nedrenirane čvrstoće i korelacija

$$c_u/\sigma_p \approx 0,11 + 0,0037 I_p (\%)$$

$$c_u/\sigma'_v \approx (c_u/\sigma_p) (OCR)^{0,8} \Rightarrow OCR \approx \left( \frac{c_u/\sigma'_v}{(c_u/\sigma_p)} \right)^{1,25}$$

iz  $q_a$  ( $c_u \approx q_a / 2$ )

$q_a$  – aksijalna čvrstoća

## Određivanje OCR 2

- Iz SPT-a (vrlo grubo)

$$OCR \approx 0,58 N \frac{p_a}{\sigma'_v}, \quad p_a - \text{atmosf. tlak (100 kPa)}$$

- IZ CPT-a uz pomoć pritiska prekonsolidacije

$$\sigma_p = (q_t - \sigma_{v0}) / 3$$

$\sigma_p$  - pritisak prekonsolidacije;  $q_t = q_c + u_2(1 - a)$  je korigirani otpor šiljka sonde  $q_c$ ,  $u_2$  je mjereni tlak vode u filterskom kamenu (piezometru) u sondi neposredno iznad stožastog šiljka, a  $a$  je kvocijent površine stožastog šiljka koji se dobije kalibracijom i kod kvalitetnih se uređaja kreće u rasponu od 0.75 do 0.82 za uređaje s površinom poprečnog presjeka sonde od  $10 \text{ cm}^2$ .

### ■ Krupnozrno tlo

- danas vrlo teško i vrlo nepouzdano
- pri procjeni koeficijenta bočnog tlaka mirovanja ( $K_0$ ) pretpostavlja se da je krupnozrno tlo normalno konsolidirano; ima indikacija da je kod zbijenih krupnozrnih tla koeficijent bočnog tlaka mirovanja veći od onog za normalno konsolidirano tlo

# Poissonov broj (drenirano stanje)

## ■ Sitnozrno tlo

- Normalno konsolidirane gline i prašine

$$\nu'_{nc} = \frac{K_{0nc}}{1 + K_{0nc}} = \frac{1 - \sin \varphi'}{2 - \sin \varphi'}, \text{ raspon: } 0.25 \text{ do } 0.35$$

- Prekonsolidirano

$$\nu'_{oc} < \nu'_{nc}$$

$$\nu'_{oc} \quad \text{raspon: } 0.1 \text{ do } 0.2$$

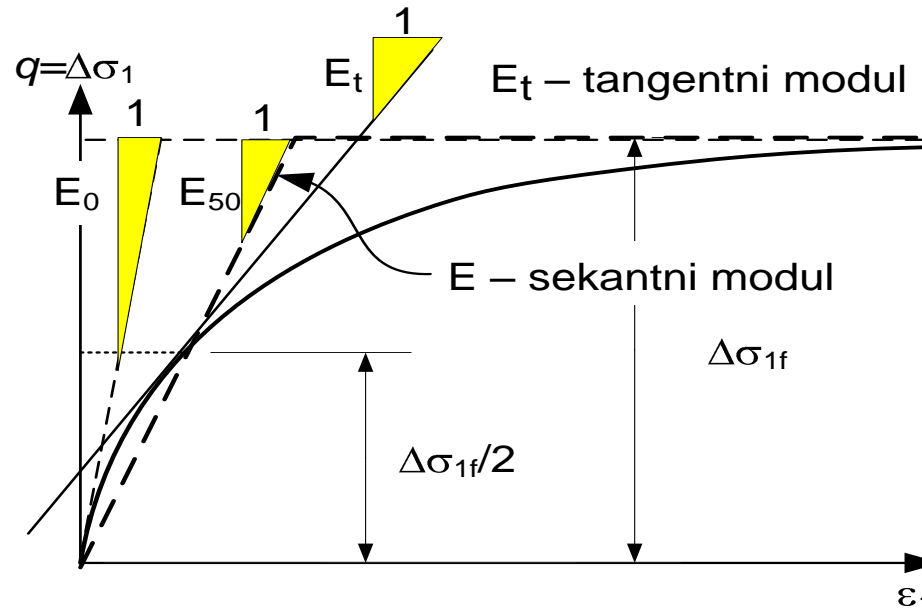
## ■ Krupnozrno tlo

- malo podataka, ali se može prepostaviti analogija:

- vrlo rahlo tlo  $\leftrightarrow$  normalno konsolidirano tlo
- zbijeno tlo  $\leftrightarrow$  prekonsolidirano tlo

# Youngov modul iz troosnog uređaja

- Drenirano stanje



- Odnos nedreniranog i dreniranog modula

$$G' = \frac{E'}{2(1 + \nu')}, \quad G = \frac{E}{2(1 + 0.5)}, \quad G' = G \Rightarrow$$

$$E = \frac{3E'}{2(1 + \nu')}$$

## Youngov modul iz edometra

- Youngov i edometarski modul

$$E' = E_{\text{oed}} \frac{(1 + \nu')(1 - 2\nu')}{1 - \nu'}$$

- Opći izraz za tangentni edometarski modul

$$E_{\text{oed}} = \frac{\partial \sigma'_v}{\partial \varepsilon_v} = \frac{2,3(1 + e)}{C} \sigma'_v$$

- Normalno konsolidirana glina  $C = C_c$
- Prekonsolidirana glina  $C = C_r$
- Iz korelacija za gline

$$C_c = 0,009 (w_L(\%) - 10)$$

$$C_c = I_P / 74, \quad C_r = I_P / 370$$

# Youngov modul iz korelacija 1

- Iz Cam – Clay modela za gline

- Nedrenirano stanje

$$E_0 / c_u = \frac{64M'(1+e)(1 + \ln OCR)}{C_c(OCR)^{0,8}}, M' = \frac{6 \sin \varphi'}{3 - \sin \varphi'}$$

$$E_{50} \approx \frac{1}{2} E_0$$

- Drenirano stanje

$$E' = E \frac{2(1 + \nu')}{3}$$

## Youngov modul iz korelacija 2

- Za gline i prašine iz broja udaraca  $N$  SPT-a (Stroud 1975)

$$E_{\text{oed}} / p'_a = f_2 N, \quad E' = E_{\text{oed}} \frac{(1 + \nu')(1 - 2\nu')}{1 - \nu'}$$

$I_p(\%)$	$f_2$
10	8
20	5
30 i više	4,5

$I_p$  – indeks plastičnosti

## Youngov modul iz korelacija 3

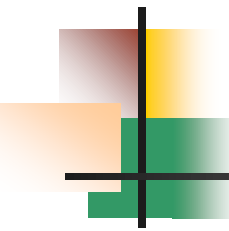
- Raspon za pjeske  $E' / p_a$

Pijesak	Zbijenost ( $I_D$ )	Tipično	Piloti
Rahli	0 – 0.4	100-200	275-550
Srednji	0.4 – 0.6	200-500	550-700
Zbijeni	0.6 – 0.8	500-1000	700-1100

- Procjena zbijenosti pjeska iz SPT-a

$$I_D = \sqrt{\frac{(N_1)_{60}}{60}}$$

$$I_D = \frac{e_{\max} - e}{e_{\max} - e_{\min}}$$



## Youngov modul iz korelacije 4

- Za pijeske i šljunke (konzervativno)

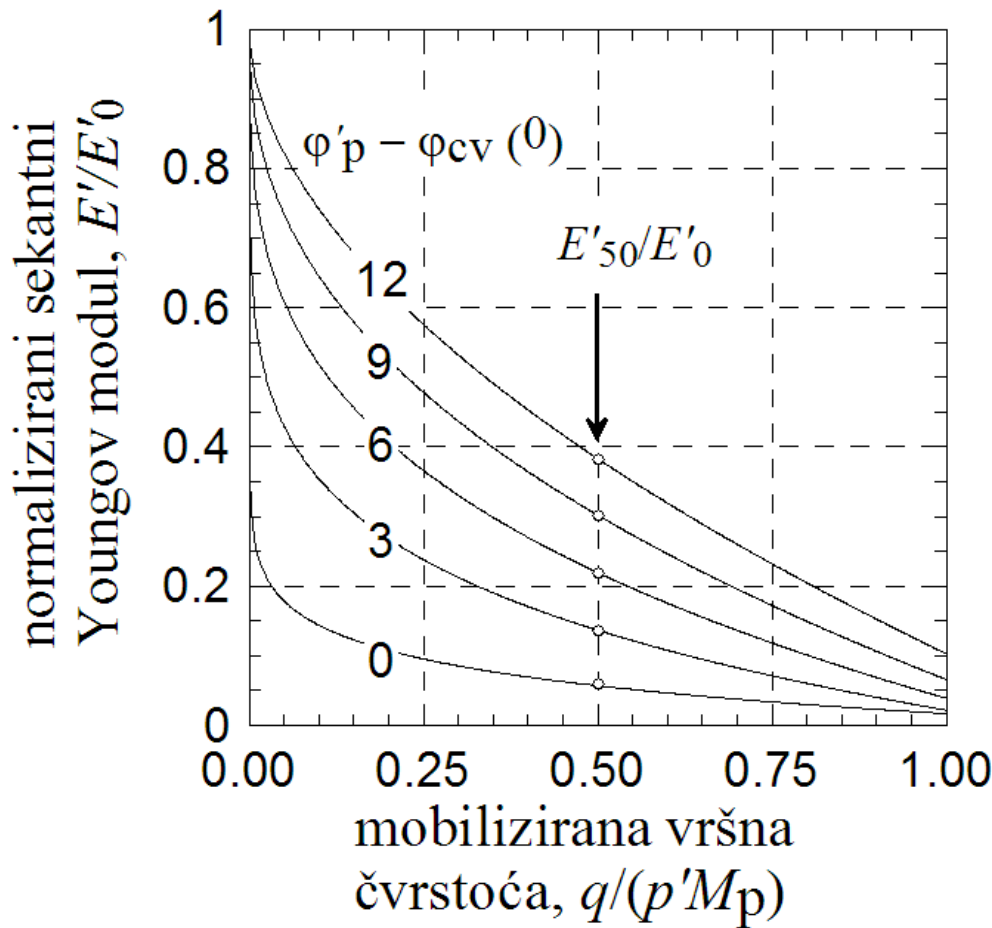
$E'_{50} / p_a \approx 5N_{60}$  (za prašinaste pijeske)

$\approx 10N_{60}$  (za čiste rahle pijeske)

$\approx 15N_{60}$  (za čiste zbijene pijeske)

# Youngov modul iz korelacija 5

- Iz modula pri vrlo malim deformacijama ( $E_0$ ) te razlike vršnog ( $\phi'_p$ ) i kritičnog ( $\phi_{cv}$ ) kuta trenja (Lee, Salgado i Cararro 2004) za pjeske i prašinaste pjeske



$$E'_0 = 2G_0(1 + \nu')$$

$$G_0 = \rho v_s^2$$

$\rho$  – gustoća tla

$v_s$  – brzina posmičnih valova

$$M_p = \frac{6 \sin \phi'_p}{3 - \sin \phi'_p}$$

## Krutost pri vrlo malim deformacijama

- Za vrlo male deformacije iz geoseizmičkih pokusa na terenu (cross-hole, down-hole, refrakcija, SASW, itd.)

$$G_0 = \rho v_s^2$$

- Iz korelacija s SPT

$$G_0 / p_a = (1 \pm 0,5) 120 \text{ } N^{0,77}$$

- Za deformacije u statičkim uvjetima približno

$$G_{50} \approx (0,05 \text{ do } 0,4) G_0 \quad [E'_{50} = 2G_{50}(1 + \nu')]$$

# Čvrstoća 1

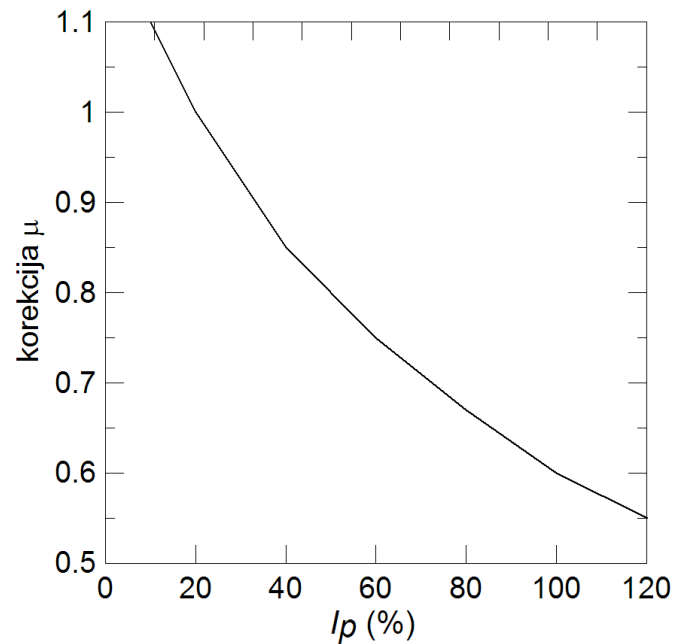
- Sitnozrna tla – nedrenirana čvrstoća
  - Iz troosnog pokusa ili iz aksijalne čvrstoće
$$c_u = q_a / 2, \quad q_a - \text{aksijalna čvrstoća}$$
  - Iz krilne sonde (uz korekciju)

$$c_{u \text{ insitu}} = \mu c_{u \text{ VST}}$$

$$\mu = 1.05 - b\sqrt{I_P(\%)}$$

$$b = 0.015 + 0.0075 \log t_f (\text{min})$$

$t_f$  – vrijeme do sloma u minutama



## Čvrstoća 2

- Iz indeksa konzistencije

$$c_u \approx 1,7 \cdot 10^{2I_c}, \quad I_c = \frac{w_L - w_0}{w_L - w_P}$$

- Iz indeksa plastičnosti

$$c_u / \sigma_p = 0,11 + 0,037I_P \approx 0,23 \pm 0,04$$

- Iz efektivnog kuta trenja iz troosnog pokusa ( $tc$ )

$$c_u / \sigma_p = \varphi'_{tc}(^0) / 100$$

## Čvrstoća 3

- Utjecaj prekonsolidacije

$$c_u / \sigma'_v = (c_u / \sigma_p)(OCR)^{0,8}$$

- Utjecaj brzine smicanja

$$c_u / c_{u \dot{\varepsilon}_1=1\% / sat} = 1,0 + 0,1 \log(\dot{\varepsilon} / \dot{\varepsilon}_1)$$

- Korelacija s SPT

$$c_u / p_a = f_1 N$$

$I_p$	$f_1$
10	0.080
20	0.075
30 i više	0.045

## Čvrstoća 4

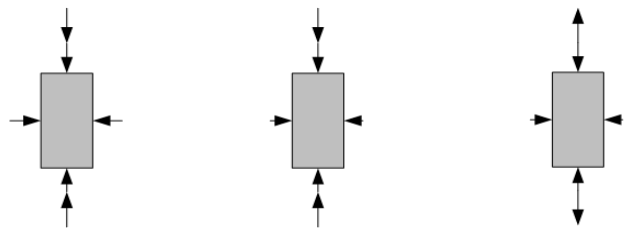
- Korelacija s CPTom

$$c_u / p_a = \frac{q_c - \sigma_v}{N_k}, \quad N_k = 7 \text{ do } 15$$

# Čvrstoća 5

## ■ Utjecaj smjera smicanja

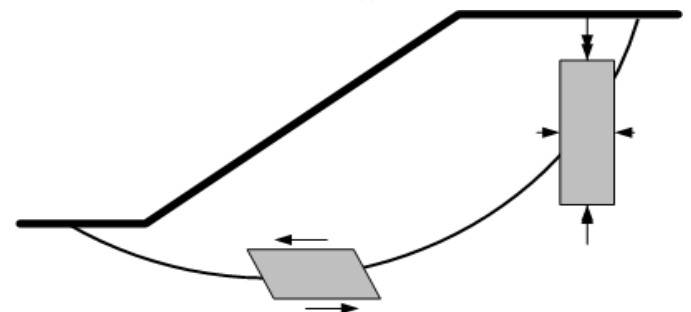
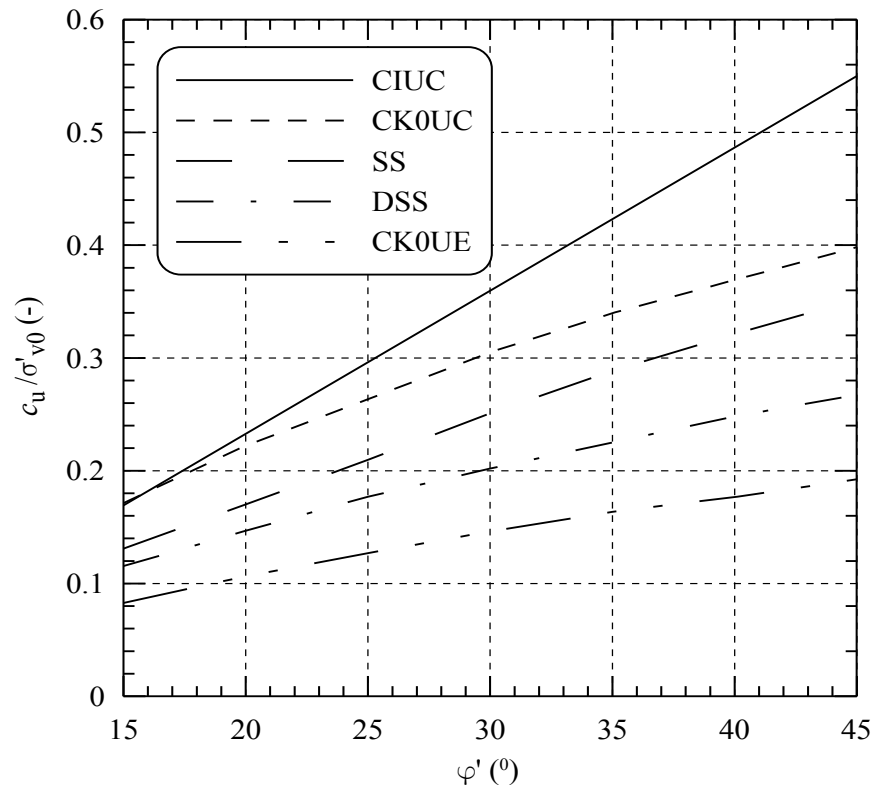
1. CIUC
2. CK0UC
3. CK0UE



4. SS
5. DSS



1. izotropno konsolidirano nedrenirano tlačenje;
2. anizotropno konsolidirano ( $K_0$ ) nedrenirano tlačenje
3. anizotropno konsolidirano ( $K_0$ ) nedrenirano razvlačenje
4. jednostavno smicanje
5. direktno smicanje



## Čvrstoća 6

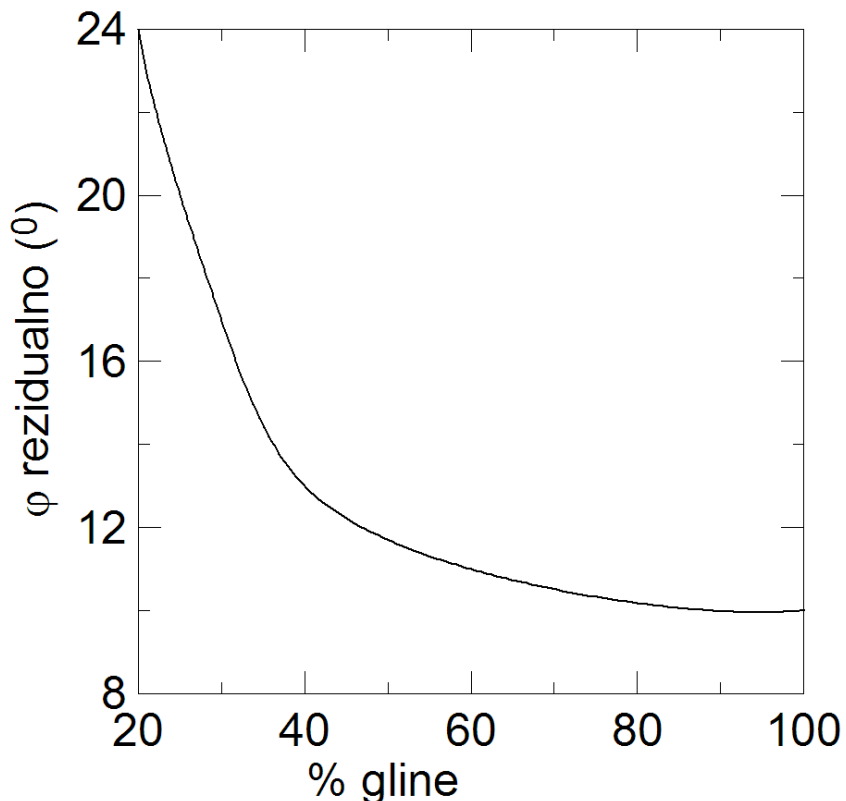
### ■ Sitnozrna tla – drenirana čvrstoća

- Vršna ( $c'_p, \varphi'_p$ ) samo iz laboratorijskih pokusa smicanja
- Kritična ( $\varphi_{cv}$ ) iz neposrednih mjerenja na prognječenim uzorcima u troosnom uređaju ili procjena iz indeksa plastičnosti (kritična kohezija uvijek je jednaka nuli)

$$\sin \varphi_{cv} = 0,8 - 0,094 \ln I_P$$

## Čvrstoća 7

- Rezidualna iz neposrednog mjerjenja u uređaju za direktno smicanja (cikličko opterećenje) ili rotacionog direktnog smicanja ili procjenom iz težinskog postotka sadržaja čestica gline (čestice manje od 0.002 mm)



## Čvrstoća 8

- Krupnozrna tla (drenirana čvrstoća; nedrenirana rijetko zanimljiva)
  - Vršni efektivni kut trenja iz laboratorijskih pokusa nepouzdani zbog nemogućnosti dobivanja neporemećenih uzoraka
  - Vršni efektivni kut trenja iz SPT-a

$$\varphi_p(^0) = C \operatorname{arctg} \left( \frac{N}{12,2 + 20,3(\sigma'_v / p_a)} \right)^{0,34}$$

$C = 1$  (troosna kompresija),  $= 1,2$  (troosna ekstenzija),  $= 1,1$  (ravninsko stanje deformacija)

## Čvrstoća 9

- ili

$$\varphi'_p(^0) = 20^0 + \sqrt{15.4(N_1)_{60}}$$

- Vršni efektivni kut trenja iz CPT-a

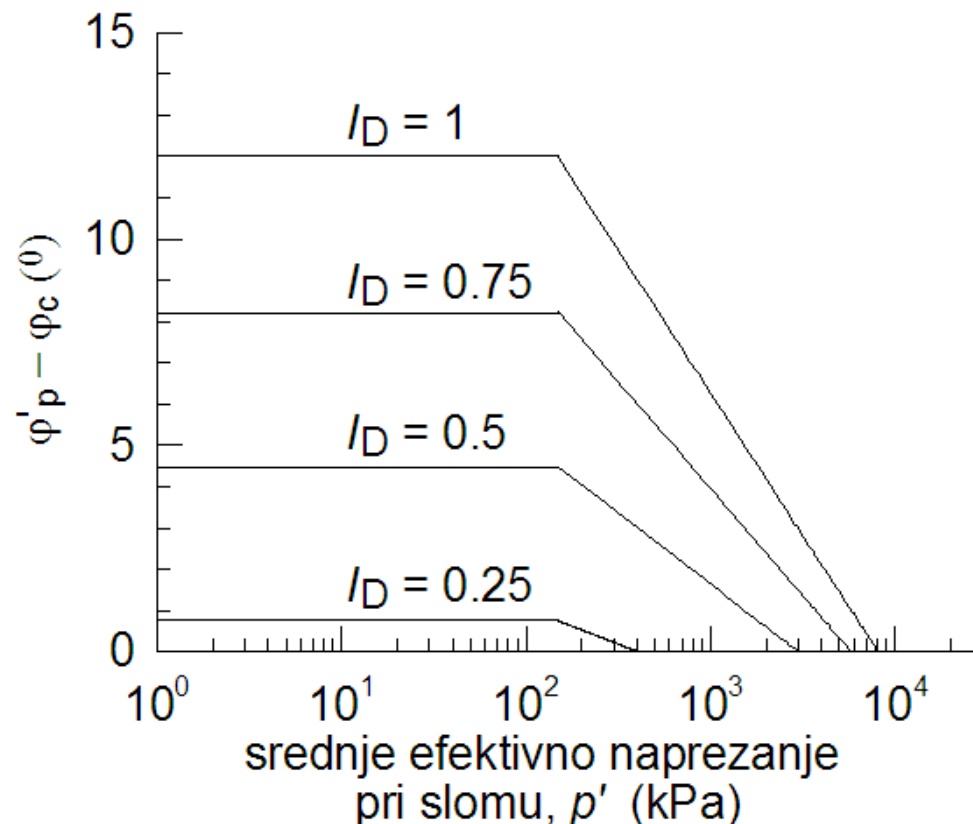
$$\varphi'_p(^0) = C \operatorname{arctg} 0,1 + 0,38 \log(q_c / \sigma'_v)$$

$$\varphi'_p(^0) = C \left( 17,6 + 11,0 \log \frac{q_c / p_a}{(\sigma'_v / p_a)^{0,5}} \right)$$

$C$  isti kao u prethodnom izrazu za SPT

## Čvrstoća 10

- Iz empiričkih korelacija s indeksom zbijenosti za kvarcne pjeske (Bolton 1986)

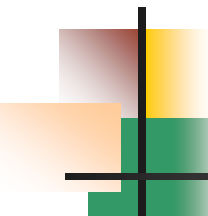


## Čvrstoća 11

- Kritični kut trenja – iz neposrednih mjeranja u laboratoriju ili slijedećom procjenom

$$\varphi_{cv}(^0) = 42^0 - 17R$$

$R$  – zaobljenost (omjer prosječnog polumjera zakriviljenosti površine zrna krupnozrnog tla i polumjera najveće kugle koja se može zrnu opisati); kreće se od 0.1 za uglata do 0.9 za dobro zaobljena zrna



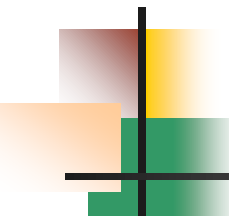
## Dilatacija

- U elasto-plastičnom modelu koristiti ju samo u slučaju dreniranih analiza
  - Bolton 1986 (pijesci)

$$\varphi'_p - \varphi_{cv} \approx 0.8\psi$$

- Rowe 1962

$$\sin \psi = \frac{\sin \varphi'_p - \sin \varphi_{cv}}{1 - \sin \varphi'_p \sin \varphi_{cv}}$$



## Zaključak

- Postoji niz pokusa za određivanje parametara tla; za pojedina vrste tla pogodni su samo neki pokusi;
- Ispitivanja treba prilagoditi vrsti tla i naprezanjima koja se očekuju u danom problemu (ispitivanja prilagoditi utvrđenom problemu, a kako se saznanja upotpunjuju, prilagoditi program istraživanja – istraživanja u više faza);
- Mnogi detalji uređaja i ispitivanja mogu znatno utjecati na rezultate pa o njima svima treba voditi računa i pažljivo ih bilježiti; po mogućnosti pokuse izvoditi po priznatim standardima;
- Sve dostupne podatke treba vrednovati i pogodno prikazati da bi se izvršila suvisla i racionalna sinteza te mogli izabrati **karakteristične vrijednosti parametara tla**;
- Određivanje parametara zahtjevan je i vrlo odgovoran dio rješavanja geotehničkih problema.